

3.4.4 2005年冬季(2~3月)分析結果

結果は、以下の表及び図としてまとめた。なお、値はすべてヒ素換算値とした。

表 3.4.6 2005年冬季(2~3月)地下水分析結果一覧表

図 3.4.7 2005年冬季(2~3月)ABトラック地下水 DPAA 汚染状況図

図 3.4.8 2005年冬季(2~3月)A井戸周辺地下水 DPAA 汚染状況図

図 3.4.9 2005年冬季(2~3月)B地区地下水 DPAA 汚染状況図

1) A井戸周辺

A井戸直近では、2004秋季測定に引続き、A井戸の南西と南東の2箇所が高濃度汚染が認められる。

A井戸の南西部分のNo.37は、濃度が低下している一方で、南東部分のNo.13、37、72では濃度が上昇している。

グラント北西角(No.27、155)は、濃度が低下している。

また、A井戸の南東部を除いては、全体に濃度が低下する傾向にある。

2) B地区

2004秋季測定に引続き、B地区中心付近のNo.163孔の深度29mで0.47mg-As/Lの汚染が認められ、周辺に向かって薄くなる傾向がある。

3) AB間

2004秋季測定に引続き、No.174、55、194、178、177、56で非常に薄い汚染が確認されている。

4) ABトラック外周

17孔のモニタリング孔のうち、南西端に位置するM-3孔において、非常に低濃度(深度10mで0.015mg-As/L、深度20mで0.027mg-As/L、深度30mで0.026mg-As/L)のジフェニルアルシン酸(DPAA)を検出した。それ以外の16孔では検出されなかった。

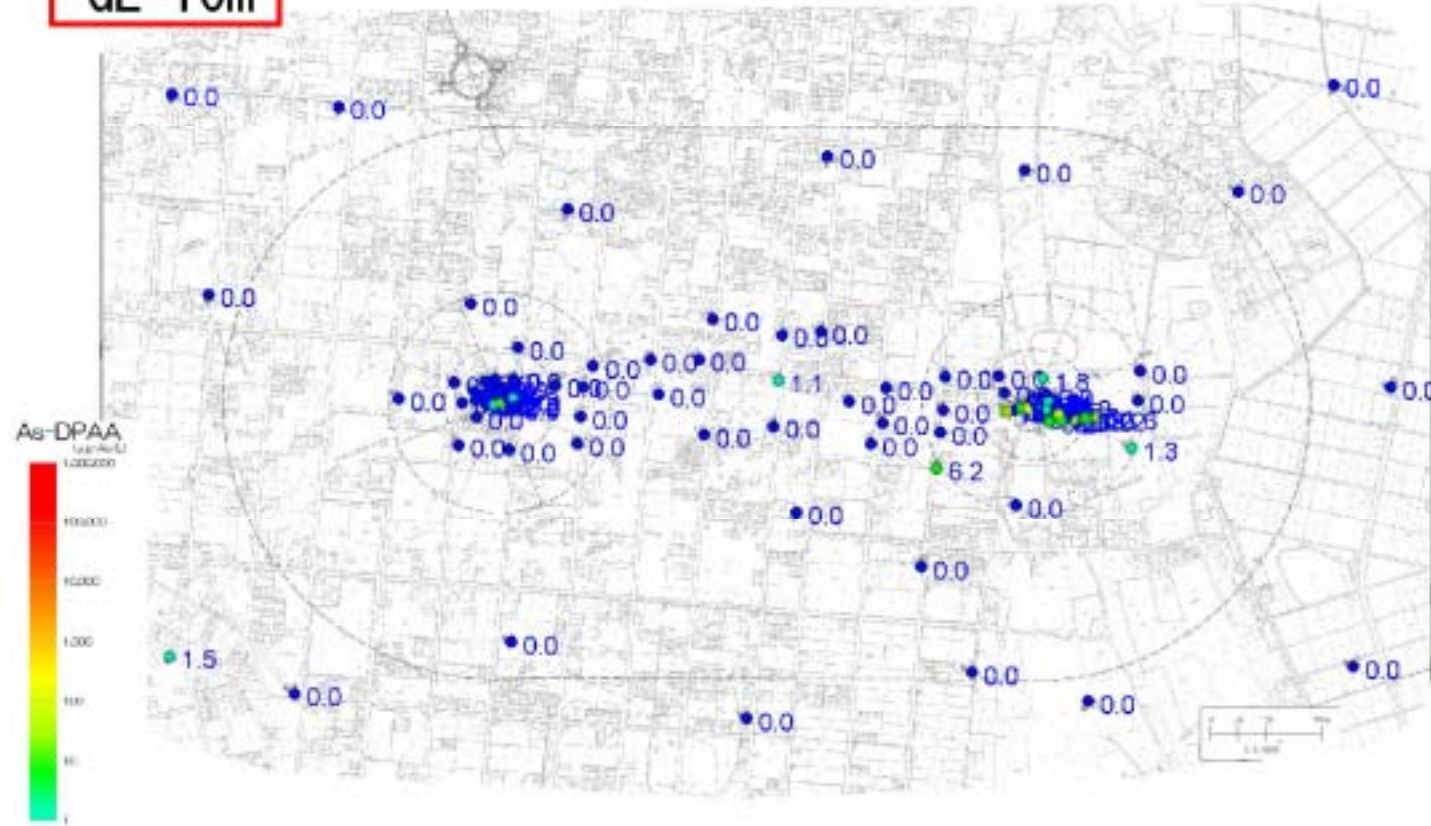
表3.4.6 2005年冬季(2~3月)地下水分析結果一覽表

地点番号	地区	深度(m)	採水日	DPAA	地点番号	地区	深度(m)	採水日	DPAA	地点番号	地区	深度(m)	採水日	DPAA	地点番号	地区	深度(m)	採水日	DPAA
65	B	10	2月21日	N.D.	181	AB	10	2月18日	N.D.	181	AB	10	2月18日	N.D.	181	AB	10	2月18日	N.D.
66	B	20	2月21日	N.D.	182	AB	20	2月18日	N.D.	182	AB	20	2月18日	N.D.	182	AB	20	2月18日	N.D.
67	B	30	2月21日	N.D.	183	AB	30	2月18日	N.D.	183	AB	30	2月18日	N.D.	183	AB	30	2月18日	N.D.
68	B	10	2月21日	N.D.	184	AB	10	2月18日	N.D.	184	AB	10	2月18日	N.D.	184	AB	10	2月18日	N.D.
69	B	20	2月21日	N.D.	185	AB	20	2月18日	N.D.	185	AB	20	2月18日	N.D.	185	AB	20	2月18日	N.D.
70	B	30	2月21日	N.D.	186	AB	30	2月18日	N.D.	186	AB	30	2月18日	N.D.	186	AB	30	2月18日	N.D.
71	B	10	2月22日	N.D.	187	AB	10	2月19日	6.2	187	AB	10	2月19日	6.2	187	AB	10	2月19日	6.2
72	B	26	2月22日	8.4	188	AB	28	2月19日	6.1	188	AB	28	2月19日	6.1	188	AB	28	2月19日	6.1
73	B	10	2月21日	N.D.	189	A	10	2月18日	N.D.	189	A	10	2月18日	N.D.	189	A	10	2月18日	N.D.
74	B	30	2月21日	N.D.	190	A	30	2月18日	N.D.	190	A	30	2月18日	N.D.	190	A	30	2月18日	N.D.
75	B	10	2月22日	N.D.	191	A	10	2月19日	5	191	A	10	2月19日	5	191	A	10	2月19日	5
76	B	20	2月22日	N.D.	192	A	20	2月18日	N.D.	192	A	20	2月18日	N.D.	192	A	20	2月18日	N.D.
77	B	30	2月22日	N.D.	193	A	30	2月18日	N.D.	193	A	30	2月18日	N.D.	193	A	30	2月18日	N.D.
78	B	10	2月21日	1.5	194	A	10	2月18日	N.D.	194	A	10	2月18日	N.D.	194	A	10	2月18日	N.D.
79	B	29	2月22日	N.D.	195	A	29	2月19日	18.6	195	A	29	2月19日	18.6	195	A	29	2月19日	18.6
80	B	10	2月22日	N.D.	196	A	10	2月19日	17	196	A	10	2月19日	17	196	A	10	2月19日	17
81	B	30	2月22日	N.D.	197	A	30	2月18日	780.5	197	A	30	2月18日	780.5	197	A	30	2月18日	780.5
82	B	10	2月21日	N.D.	198	A	10	2月18日	804.2	198	A	10	2月18日	804.2	198	A	10	2月18日	804.2
83	B	20	2月21日	N.D.	199	A	20	2月18日	964.6	199	A	20	2月18日	964.6	199	A	20	2月18日	964.6
84	B	30	2月21日	N.D.	200	A	30	2月18日	N.D.	200	A	30	2月18日	N.D.	200	A	30	2月18日	N.D.
85	B	10	2月22日	N.D.	201	A	10	2月19日	60.4	201	A	10	2月19日	60.4	201	A	10	2月19日	60.4
86	B	20	2月22日	N.D.	202	A	20	2月18日	N.D.	202	A	20	2月18日	N.D.	202	A	20	2月18日	N.D.
87	B	30	2月22日	N.D.	203	A	30	2月18日	N.D.	203	A	30	2月18日	N.D.	203	A	30	2月18日	N.D.
88	B	10	2月21日	8.6	204	A	10	2月18日	N.D.	204	A	10	2月18日	N.D.	204	A	10	2月18日	N.D.
89	B	20	2月21日	1.7	205	A	20	2月18日	N.D.	205	A	20	2月18日	N.D.	205	A	20	2月18日	N.D.
90	B	30	2月21日	5.3	206	A	30	2月18日	N.D.	206	A	30	2月18日	N.D.	206	A	30	2月18日	N.D.
91	B	10	2月22日	92.3	207	A	10	2月19日	N.D.	207	A	10	2月19日	N.D.	207	A	10	2月19日	N.D.
92	B	20	2月22日	N.D.	208	A	20	2月18日	N.D.	208	A	20	2月18日	N.D.	208	A	20	2月18日	N.D.
93	B	30	2月22日	N.D.	209	A	30	2月18日	N.D.	209	A	30	2月18日	N.D.	209	A	30	2月18日	N.D.
94	B	10	2月21日	101.9	210	A	10	2月18日	6.9	210	A	10	2月18日	6.9	210	A	10	2月18日	6.9
95	B	29	2月22日	N.D.	211	A	29	2月19日	7.4	211	A	29	2月19日	7.4	211	A	29	2月19日	7.4
96	B	10	2月22日	N.D.	212	A	10	2月18日	114.5	212	A	10	2月18日	114.5	212	A	10	2月18日	114.5
97	B	30	2月22日	23	213	A	30	2月18日	131	213	A	30	2月18日	131	213	A	30	2月18日	131
98	B	10	2月21日	12.2	214	A	10	2月18日	1229.2	214	A	10	2月18日	1229.2	214	A	10	2月18日	1229.2
99	B	20	2月21日	13.1	215	A	20	2月18日	99.8	215	A	20	2月18日	99.8	215	A	20	2月18日	99.8
100	B	30	2月21日	15.9	216	A	30	2月18日	420.1	216	A	30	2月18日	420.1	216	A	30	2月18日	420.1
101	B	10	2月23日	N.D.	217	A	10	2月19日	597.6	217	A	10	2月19日	597.6	217	A	10	2月19日	597.6
102	B	20	2月23日	N.D.	218	A	20	2月18日	N.D.	218	A	20	2月18日	N.D.	218	A	20	2月18日	N.D.
103	B	30	2月23日	N.D.	219	A	30	2月18日	N.D.	219	A	30	2月18日	N.D.	219	A	30	2月18日	N.D.
104	B	10	2月22日	N.D.	220	A	10	2月19日	3	220	A	10	2月19日	3	220	A	10	2月19日	3
105	B	20	2月22日	9.7	221	A	20	2月18日	12.3	221	A	20	2月18日	12.3	221	A	20	2月18日	12.3
106	B	30	2月22日	N.D.	222	A	30	2月18日	N.D.	222	A	30	2月18日	N.D.	222	A	30	2月18日	N.D.
107	B	10	2月21日	1	223	A	10	2月18日	1.4	223	A	10	2月18日	1.4	223	A	10	2月18日	1.4
108	B	20	2月21日	2.9	224	A	20	2月18日	794.5	224	A	20	2月18日	794.5	224	A	20	2月18日	794.5
109	B	30	2月21日	N.D.	225	A	30	2月18日	N.D.	225	A	30	2月18日	N.D.	225	A	30	2月18日	N.D.
110	B	10	2月23日	N.D.	226	A	10	2月19日	2.4	226	A	10	2月19日	2.4	226	A	10	2月19日	2.4
111	B	20	2月23日	N.D.	227	A	20	2月18日	24.7	227	A	20	2月18日	24.7	227	A	20	2月18日	24.7
112	B	30	2月23日	N.D.	228	A	30	2月18日	N.D.	228	A	30	2月18日	N.D.	228	A	30	2月18日	N.D.
113	B	10	2月22日	N.D.	229	A	10	2月19日	N.D.	229	A	10	2月19日	N.D.	229	A	10	2月19日	N.D.
114	B	20	2月22日	63.8	230	A	20	2月18日	29.7	230	A	20	2月18日	29.7	230	A	20	2月18日	29.7
115	B	30	2月22日	N.D.	231	A	30	2月18日	75.5	231	A	30	2月18日	75.5	231	A	30	2月18日	75.5
116	B	10	2月21日	N.D.	232	A	10	2月18日	N.D.	232	A	10	2月18日	N.D.	232	A	10	2月18日	N.D.
117	B	20	2月21日	N.D.	233	A	20	2月18日	N.D.	233	A	20	2月18日	N.D.	233	A	20	2月18日	N.D.
118	B	30	2月21日	N.D.	234	A	30	2月18日	N.D.	234	A	30	2月18日	N.D.	234	A	30	2月18日	N.D.
119	B	10	2月22日	N.D.	235	A	10	2月19日	41.7	235	A	10	2月19日	41.7	235	A	10	2月19日	41.7
120	B	20	2月22日	N.D.	236	A	20	2月18日	N.D.	236	A	20	2月18日	N.D.	236	A	20	2月18日	N.D.
121	B	30	2月22日	N.D.	237	A	30	2月18日	N.D.	237	A	30	2月18日	N.D.	237	A	30	2月18日	N.D.
122	B	10	2月21日	1.2	238	A	10	2月18日	N.D.	238	A	10	2月18日	N.D.	238	A	10	2月18日	N.D.
123	B	20	2月21日	332.6	239	A	20	2月18日	N.D.	239	A	20	2月18日	N.D.	239	A	20	2月18日	N.D.
124	B	30	2月21日	473.9	240	A	30	2月18日	N.D.	240	A	30	2月18日	N.D.	240	A	30	2月18日	N.D.
125	B	10	2月22日	N.D.	241	A	10	2月19日	N.D.	241	A	10	2月19日	N.D.	241	A	10	2月19日	N.D.
126	B	20	2月22日	N.D.	242	A	20	2月18日	N.D.	242	A	20	2月18日	N.D.	242	A	20	2月18日	N.D.
127	B	30	2月22日	N.D.	243	A	30	2月18日	N.D.	243	A	30	2月18日	N.D.	243	A	30	2月18日	N.D.
128	B	10	2月21日	N.D.	244	A	10	2月18日	N.D.	244	A	10	2月18日	N.D.	244	A	10	2月18日	N.D.
129	B	20	2月21日	N.D.	245	A	20	2月18日	N.D.	245	A	20	2月18日	N.D.	245	A	20	2月18日	N.D.
130	B	30	2月21日	N.D.	246	A	30	2月18日	N.D.	246	A	30	2月18日	N.D.	246	A	30	2月18日	N.D.
131	B	10	2月22日	N.D.	247	A	10	2月19日	N.D.	247	A	10	2月19日	N.D.	247	A	10	2月19日	N.D.
132	B	20	2月22日	N.D.	248	A	20	2月18日	N.D.	248	A	20	2月18日	N.D.	248	A	20	2月18日	N.D.
133	B	30	2月22日	N.D.	249	A	30	2月18日	N.D.	249	A	30	2月18日	N.D.	249	A	30	2月18日	N.D.
134	B	10	2月21日	N.D.	250	A	10	2月18日	N.D.	250	A	10	2月18日	N.D.	250	A	10	2月18日	N.D.
135	B	20	2月21日	N.D.	251	A	20	2月18日	N.D.	251	A	20	2月18日	N.D.	251	A	20	2月18日	N.D.
136	B	30	2月21日	N.D.	252	A	30	2月18日	N.D.	252	A	30	2月18日	N.D.	252	A	30	2月18日	N.D.
137	B	10	2月22日	N.D.	253	A	10	2月19日	166.5	253	A	10	2月19日	166.5	253	A	10	2月19日	166.5
138	B	20	2月22日	N.D.	254	A	20	2月18日	599.3	254	A	20	2月18日	599.3	254	A	20	2月18日	599.3
139	B	30	2月22日	N.D.	255	A	30	2月18日	N.D.	255	A	30	2月18日	N.D.	255	A	30	2月18日	N.D.
140	B	10	2月21日	N.D.	256	A	10	2月18日	N.D.	256	A	10	2月18日	N.D.	256	A	10	2月18日	N.D.
141	B	20	2月21日	N.D.	257	A	20	2月18日	N.D.	257	A	20	2月18日	N.D.	257	A	20	2月18日	N.D.
142	B	30	2月21日	N.D.	258	A	30	2月18日	N.D.	258	A	30	2月18日	N.D.	258	A	30	2月18日	N.D.
143	B	10	2月22日	N.D.	259	A	10	2月19日	449.4	259	A	10	2月19日	449.4	259	A	10	2月19日	449.4
144	B	20	2月22日	N.D.	260	A	20												

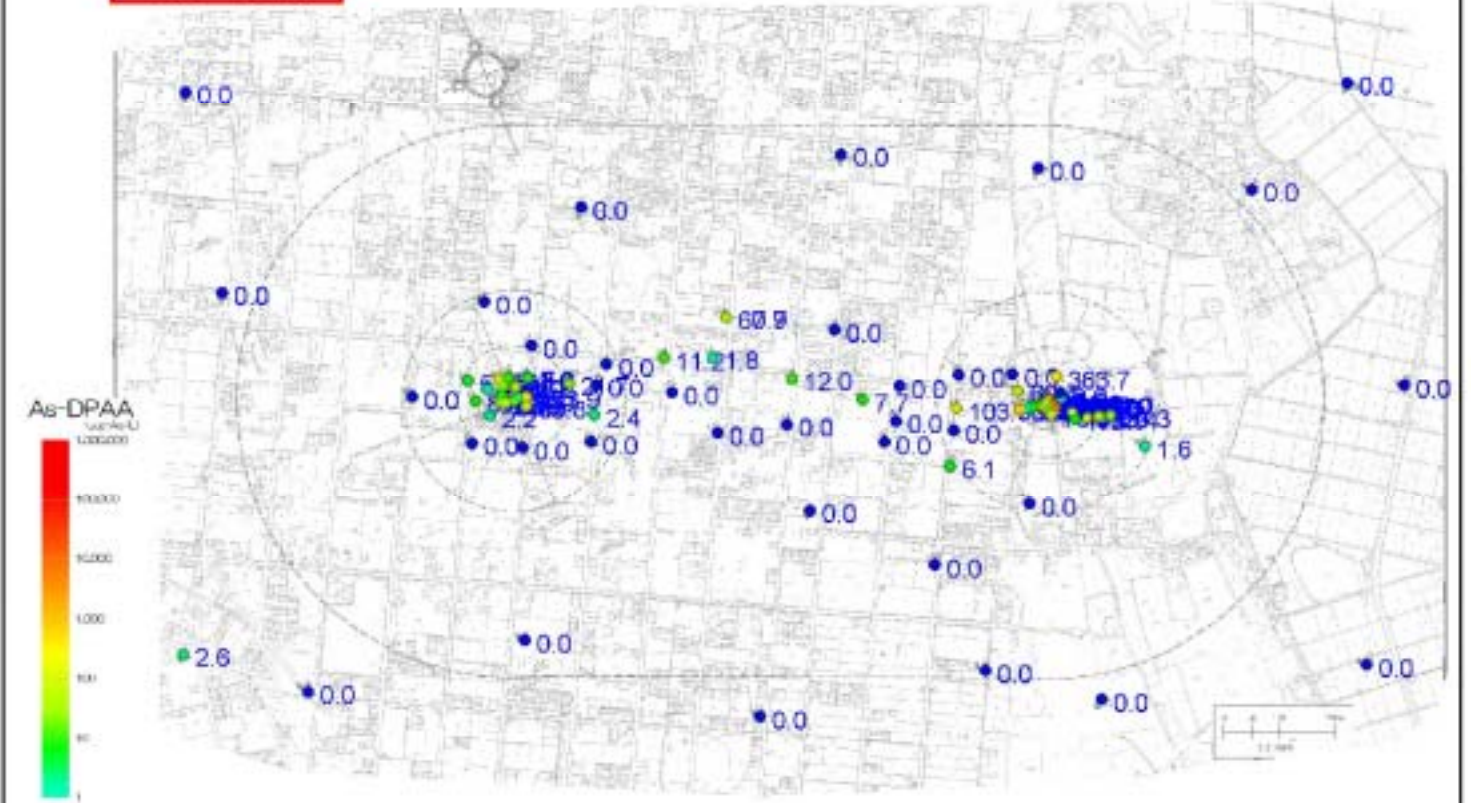
図3.4.7 2005年冬季(2~3月)ABトラック地下水DPAA汚染状況図

単位: $\mu\text{g-As/L}$

GL-10m



GL-30m



GL-20m

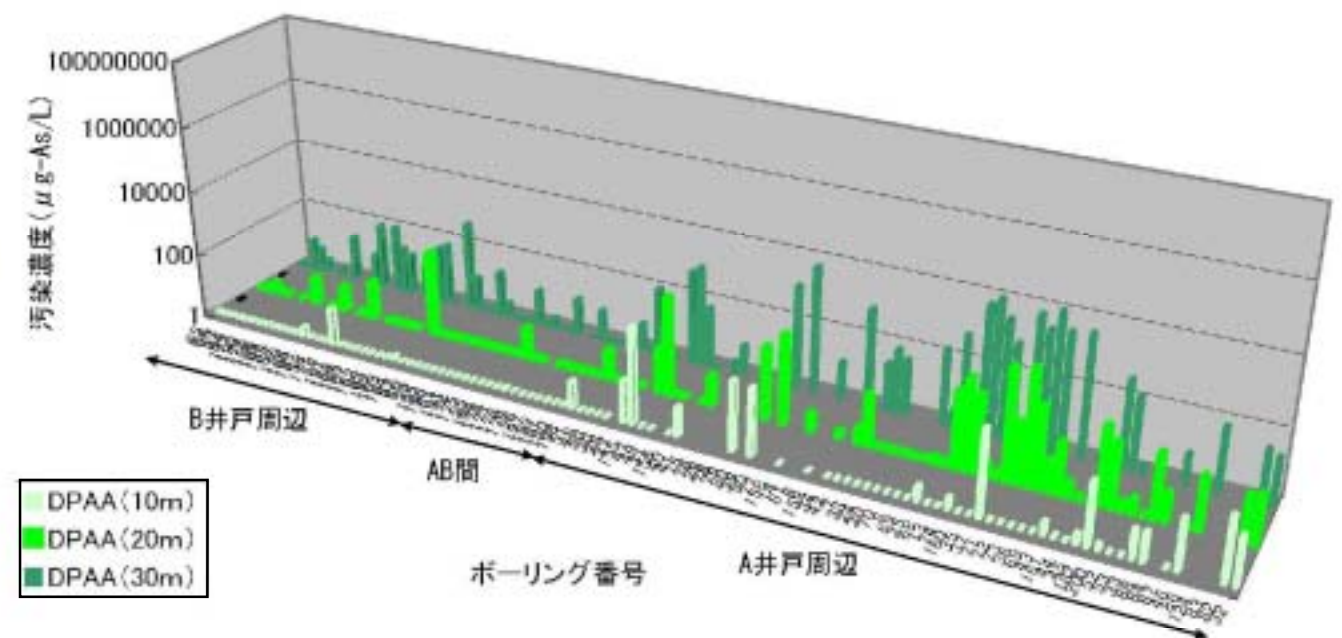
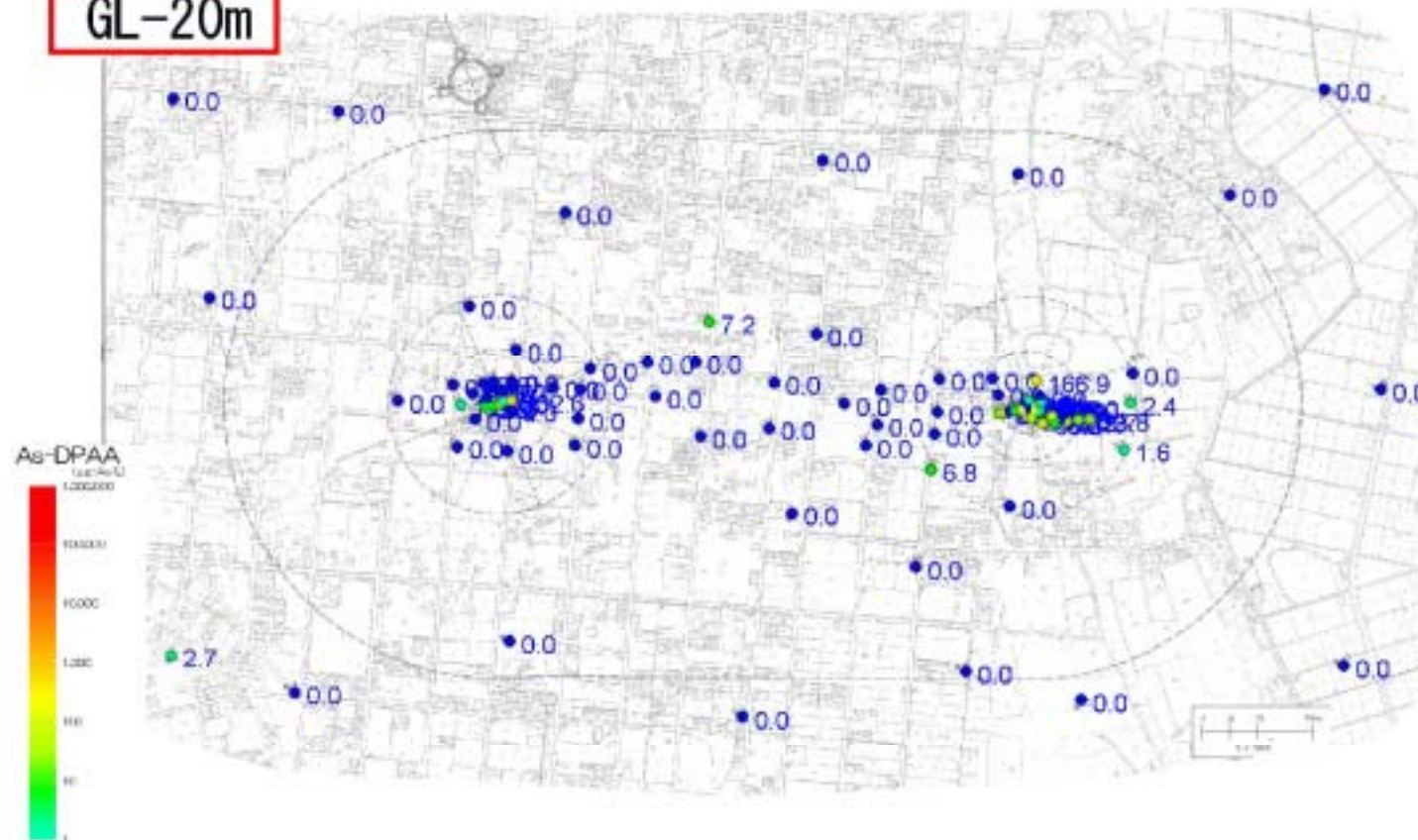


図3.4.8 2005年冬季(2~3月)A井戸周辺地下水DPAA汚染状況図

単位: $\mu\text{g-As/L}$

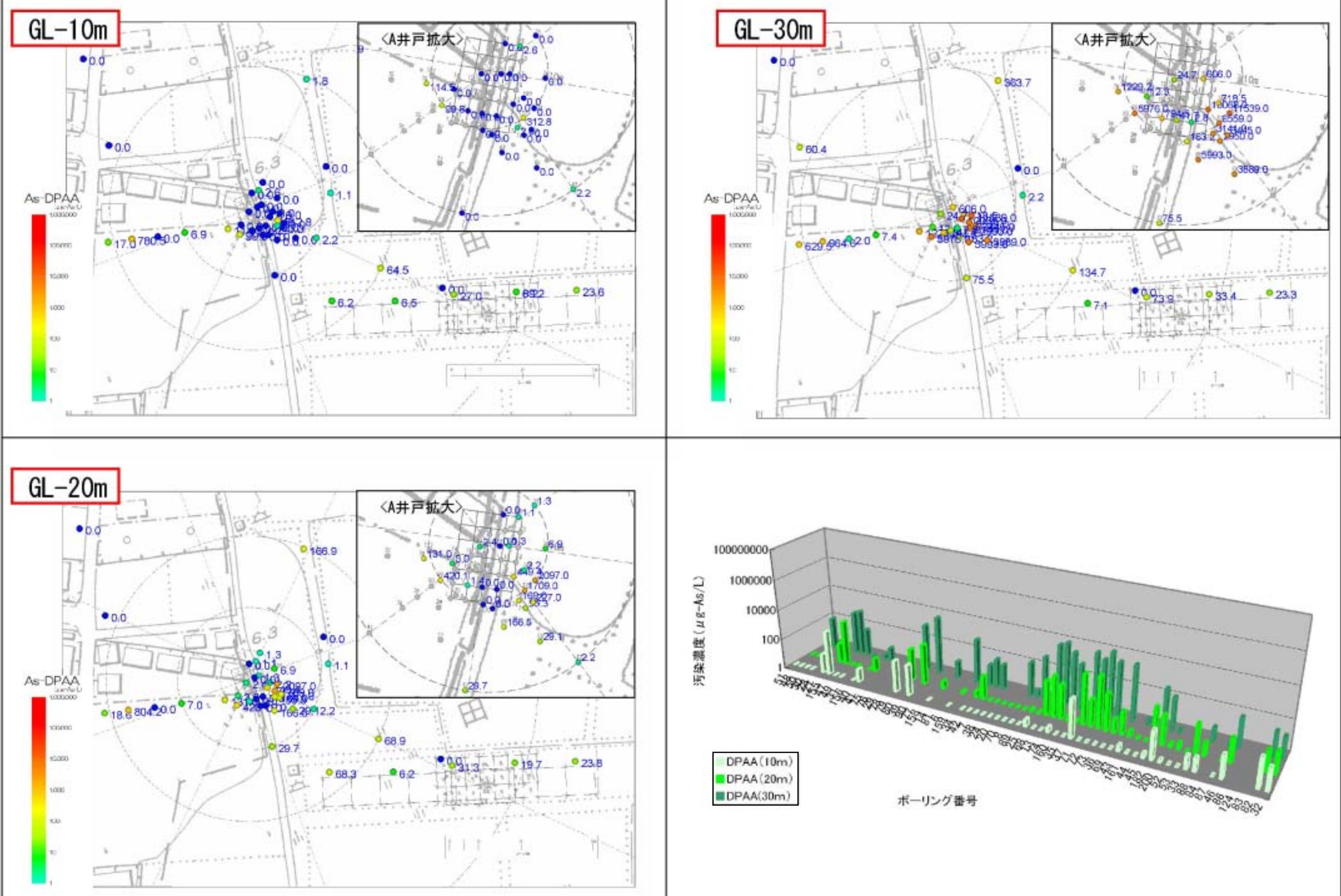


図3.4.9 2005年冬季(2~3月)B地区地下水DPAA汚染状況図

単位: $\mu\text{g-As/L}$

